

山梨大学 正会員 平山公明
東京大学 正会員 松尾友矩

1. はじめに 河川・湖沼での酸素移動速度を推定するためのモデル式はこれまでにも提案されている。酸素移動現象は、気液界面での乱れの状態がその移動速度の支配的な要因であると考えられるが、いくつかのモデル式では、表面での乱れのエネルギー逸散率は全体のエネルギー逸散率 $E = g I U$ に比例するという仮定がおかれている。しかし、今本による開水路流れの乱れ特性量の普遍関数表示を用いれば、表面での局所的乱れ特性値 ϵ 式中に導入できること、また、著者らが検討している乱れの強さによる酸素移動現象のモデル化を、開水路流れに応用することが可能である。本研究は、乱れの特性量の普遍関数表示を用いて、いくつかの酸素移動現象のモデル式を開水路流れに適用することについて検討した。

2. 乱れ特性量の普遍関数表示 今本は、開水路での乱れの特性量 ϵ 、相対水深 (z/H) の関数として普遍関数表示することを提案している。今本は、エネルギー逸散率と乱れの強さに対しては、次の2つの式による普遍関数表示が実測結果をよく満たすことを報告している。 $\epsilon/(U_f^3/H) = \phi_\epsilon(z/H)$ ——(1), $U'/(\bar{U}^{1/2} U_f^{1/2}) = \phi_{U'}(z/H)$ ——(2) (1)式より、表面でのエネルギー逸散率は $\epsilon = \phi_\epsilon(1) U_f^3/H \propto U_f^3/H$ ——(3), (2)式より、表面での乱れの強さは $U' = \phi_{U'}(1) \bar{U}^{1/2} U_f^{1/2} \propto \bar{U}^{1/2} U_f^{1/2}$ ——(4) とあらわされる。

3. 普遍関数表示式の酸素移動モデル式へのあてはめ 開水路での大気から水中への酸素の移動は次式で記述される。 $\frac{dc}{dt} = K_L(C_s - C)$ ——(5) (5)式中の K_L が再び、気体係数と呼ばれ、酸素の移動速度をあらわす指標として用いられている。さらに、開水路では一般に K_L が次のようにあらわされる。 $K_L = K_L/H$ ——(6) (6)式中の K_L は酸素移動係数と呼ばれている。酸素移動現象のモデル化は、この K_L を、乱れの特性量といかに関係づけるかという問題に帰着する。

本研究でとりあげた酸素移動のモデル式は次の3つである。ここでは、乱れをあらわす指標だけをとりあげる。

$$\text{Dobbins, 村上による式 } K_L \propto \epsilon^{5/4} \quad \text{---(7)}, \quad \text{粟谷らによる式 } K_L \propto \epsilon^{1/4} \quad \text{---(8)},$$

$$\text{平山らによる式 } K_L \propto U'^{1/4} \quad \text{---(9)}$$

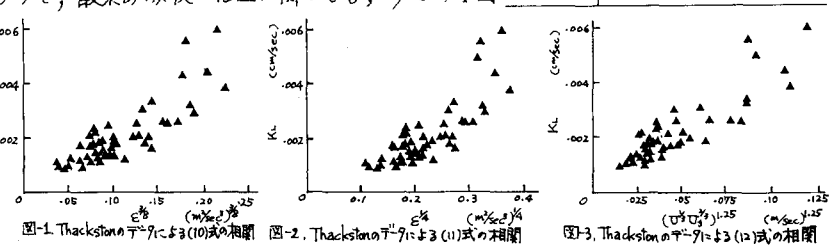
これらの3つの式に、普遍関数表示により得られた(3), (4)式を代入すると、次の3つの式が得られる。

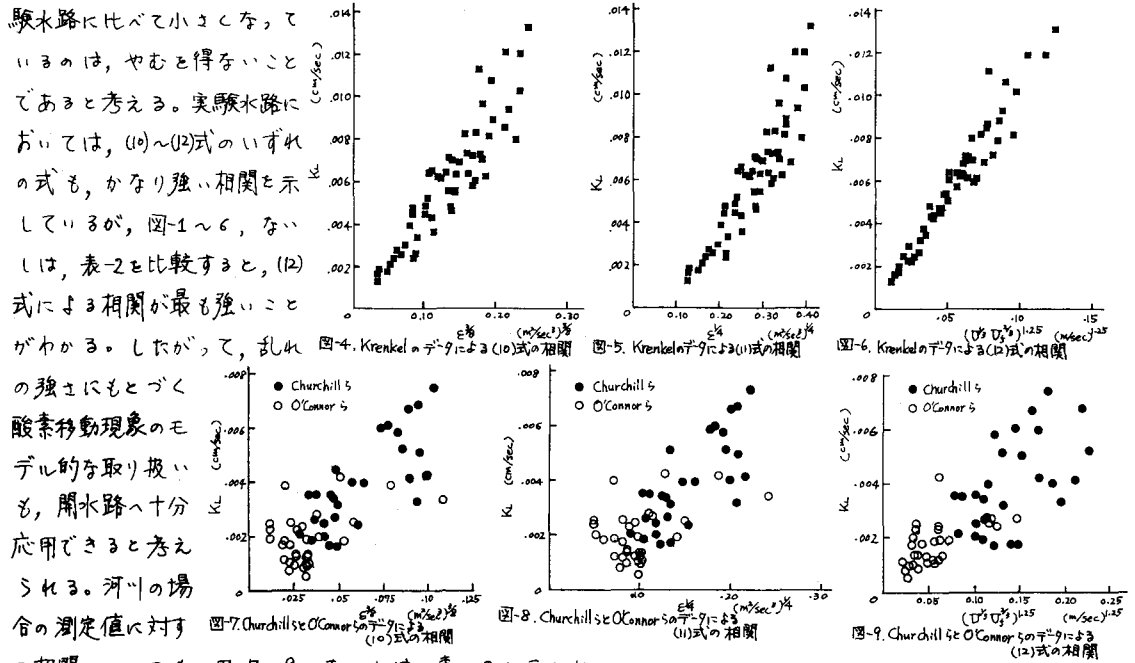
$$K_L \propto U_f^{15/4} H^{5/4} \quad \text{---(10)}, \quad K_L \propto U_f^{15/4} H^{1/4} \quad \text{---(11)}, \quad K_L \propto U_f^{15/4} U'^{1/4} \quad \text{---(12)}$$

4. 実測値との比較検討 上に得られた(10)～(12)の3つの式の有効性を検討するため、これまでに得られていく再び、気体係数の実測値を用いる。使用したデータの測定者と測定対象を表-1に示す。さらに、(10)～(12)式の右辺と、実測された再び、気体係数から求めた K_L の値との関係を図-1～9に、また、各場合における回帰式と相関係数を表-2に示す。

データ別にみると、どの式においても Krenkel による測定値の相関係数が最も高く、河川での測定値の相関係数が最も低い。河川では、実験水路に比べると、水理条件の測定が困難であろうし、酸素の吸収・発生に関しては、多くの要因が複雑に作用しているために、再び、気体係数も正しく求めることができ、非常にむつかしいものと思われる。そのため、実際の河川での相関係数が、実

測定者	測定対象
Thackston ⁽⁵⁾	実験水路 中 0.61m
Krenkel ⁽⁷⁾	実験水路 中 0.30m
Churchill ⁽⁸⁾	河川 Chinchil, Nelson川等
O'Connor ⁽⁹⁾	河川 Ohio川等





3 相関についても、図-7～9、なつしは、表-2 に示され

るよう、各式による大きな相関状態のちがひはみうけられないと、(10)式による相関係数が最も高かつた。

表-2 に示された回帰直線式の K_L 軸切片に注目する。(10)式の場合の K_L 軸切片は $-0.00035 \pm +0.00068 \text{ cm/sec}$, (11)式

の場合は $-0.00287 \sim -0.00038 \text{ cm/sec}$, (12)式の場合には $-0.00001 \sim +0.00073 \text{ cm/sec}$ である。したがつて K_L 軸切片の値は、乱れがない場合の K_L の値であると考えられる。かく乱れない場合の K_L の値の測定例が、 0.00016 cm/sec , 0.0003 cm/sec であることを考慮すると、(11)式の場合の K_L 軸切片の値は、これらの値からかなりずれてゐることといえる。

河川での測定結果を用いて得られた(10)～(12)式による回帰式を以下に示す。

$$Dobbins, 村上による式 \quad K_L = 0.0464 U_f^{1/2} H^{1/4} + 0.00068 \quad (13)$$

$$\text{栗谷らによる式} \quad K_L = 0.0258 U_f^{1/2} H^{1/4} - 0.00038 \quad (14)$$

$$\text{平山らによる式} \quad K_L = 0.0219 U_f^{1/2} H^{1/4} + 0.00073 \quad (15)$$

単位 $K_L: [\text{cm/sec} (\text{底は } c)]$

$U_f: [\text{m/sec}]$, $H: [\text{m}]$

5.まとめ 亂れの特性量の普遍関数表示をいくつかの酸素移動モデルに応用して、開水路での、水理量と酸素移動係数との関係を導いた。そして、それらの関係式と実測値と比較した結果、乱れの強さによる酸素移動現象のモデル化も、開水路流れに対して有効であることが示された。また、実験水路では平山らによる式が、河川では Dobbins, 村上による式が最も高い相関係数を示した。

使用記号 C : 酸素濃度, C_s : 飽和酸素濃度, E : 水全体の平均逃散率, E_g : E の I の割合, K_L : 再ばえ係数, K_L' : 酸素移動係数, t : 時間, W : 乱れの強さ, U_f : まつ速度, $U_f = \sqrt{2H}$, Z : 水路底からの距離, ϵ : エネルギー逃散率, ϕ_e , ϕ_u : 普通関数表示に使われる無次元係数, r : 相関係数, D : 流速

文献 1) 今井, 土木実験年報, 74, 14-B, 1971 2) 平山ら, 下水道協会誌, 17, 198, 1980 3) Dobbins, A.S.C.E., 90, SA3, 1964 4) 村上, 第6回衛生工学研究討論会, 1970 5) 栗谷ら, 土木学会西部支部講演会, 1973 6) Thackston, A.S.C.E., 95, SA1, 1969 7) Krenkel, Univ. of California Dept. San. Eng. Ph.D. dissertation, 1960 8) Churchill, A.S.C.E., 88, SA4, 1962 9) O'Connorら, A.S.C.E., 82, SA6, 1956 10) 平山ら, 第17回衛生工学研究討論会, 1981 11) 松本ら, 第30回土木学会年次講演会, 1975